

Procesado fuzzy para conformación robusta de haz

Ana Pérez Neira

[f.anuska@gps.tsc.upc.edu](mailto:anuska@gps.tsc.upc.edu)

D5-201



Contenidos

1. Introducción al procesado robusto
2. Modelo de señal
3. Conformador no robusto
4. Conformador basado en inferencia fuzzy
5. Ajuste de parámetros
6. Resultados
7. Conclusiones



Procesado robusto

Fuentes de error en el CSI (en rx o en tx)

- En rx o en tx si el sistema es TDD
 - Por estimación del canal
- En tx.en FDD
 - Conocimiento estadístico del canal
 - Transmisión de parámetros relacionados con el canal
 - Diseños basados en el receptor

Estrategias robustas y adaptables

Es necesario emplear estrategias que permitan minimizar el impacto que la falta de conocimiento del canal pueda causar en las prestaciones, ofreciendo las mejores prestaciones en todo momento

- Estrategias maximin
- Estrategias fuzzy
- Estrategias Bayesianas

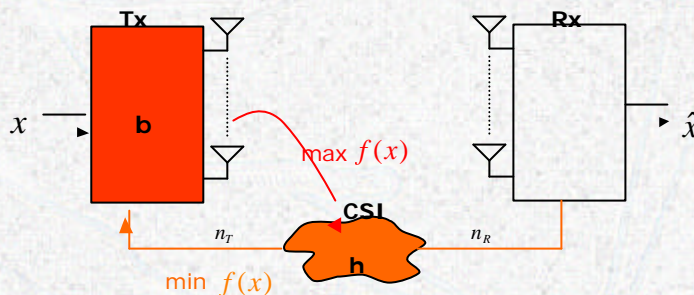


3

Procesado robusto

Técnicas Maximin: no es necesario ningún conocimiento estadístico, se trata de optimizar $f(\cdot)$ para el peor canal posible. Se ha de definir una región de incertidumbre del canal $H(\hat{\mathbf{h}})$.

$$\mathbf{b}(\hat{\mathbf{h}}) = \max_{\mathbf{b}} \min_{\mathbf{h} \in H(\hat{\mathbf{h}})} f(\mathbf{b}, \mathbf{h})$$



4

Procesado robusto

Técnicas Fuzzy: permiten modelar los errores o imprecisión lingüísticamente

$$y = f(x, \text{lenguaje})$$

Técnicas Bayesianas: modela estadísticamente lo desconocido. Si $f(\cdot)$ es el objetivo a optimizar y \mathbf{b} representa el transmisor a ser diseñado, la técnica Bayesiana se puede expresar matemáticamente como

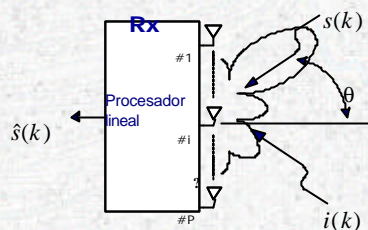
$$\mathbf{b}(\hat{\mathbf{h}}) = \max_{\mathbf{b}} \int f(\mathbf{b}, \mathbf{h}) p(\mathbf{h}/\hat{\mathbf{h}}) d\mathbf{h}$$



5

Modelo de señal

- Los conformadores son útiles para discriminar espacialmente.



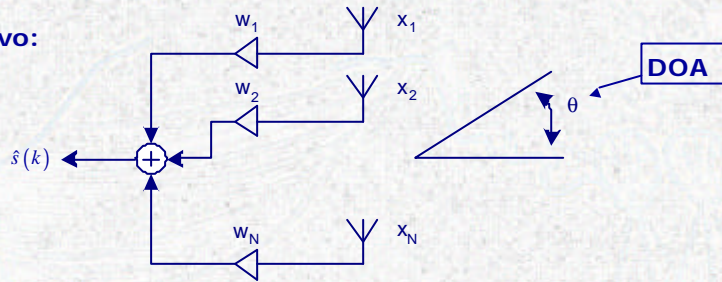
- El diseño se hará para recepción, pero si el sistema es TDD, se puede emplear en transmisión aplicando reciprocidad



6

Modelo de señal

- Objetivo:



- Modelo de señal

$$\mathbf{x}(k) = \mathbf{s}(k) + \mathbf{i}(k) + \mathbf{n}(k) = s(k) \cdot \mathbf{a}_d(u_d) + \mathbf{i}(k) + \mathbf{n}(k)$$

$$u = \sin(\mathbf{q})$$

"steering vector" =
información espacial

- Objetivo: filtrar la señal deseada

$$\hat{s}(k) = \mathbf{w}^H \mathbf{x}(k)$$



7

Conformador no robusto

- Quando el DOA es perfectamente conocido \triangleright diseños óptimos
 - Minimizar la potencia a la salida del array
 - Restricción: respuesta sin distorsión hacia la dirección deseada

$$\mathbf{w}_{opt} = \mathbf{m} \mathbf{R}_x^{-1} \mathbf{a}_d$$

$$\mathbf{R}_x = E\{\mathbf{x} \mathbf{x}^H\}$$

$$\hat{\mathbf{R}}_x = \frac{1}{K} \sum_{k=1}^K \mathbf{x}(k) \mathbf{x}(k)^H$$

Datos (snapshots) \rightarrow Dirección deseada (steering)

- Quando la matriz de correlación se estima con bajo número de snapshots

* Se estabiliza la matriz realizando "diagonal loading"



8

Un modo de obtener el "diagonal loading" es resolviendo la minimización del error cuadrático, pero añadiendo la restricción de que la norma del conformador ha de estar acotada

$$\min_{\mathbf{w}} \left| \mathbf{w}^H \mathbf{x} - s \right|$$

$$s.t. \quad \left| \mathbf{w}^H \mathbf{w} \right| = 1$$

$$L = \mathbf{w}^H \mathbf{x} \mathbf{x}^H \mathbf{w} + P_s - \mathbf{w}^H \mathbf{x} s^* - s \mathbf{x}^H \mathbf{w} + I (\mathbf{w}^H \mathbf{w} - 1)$$

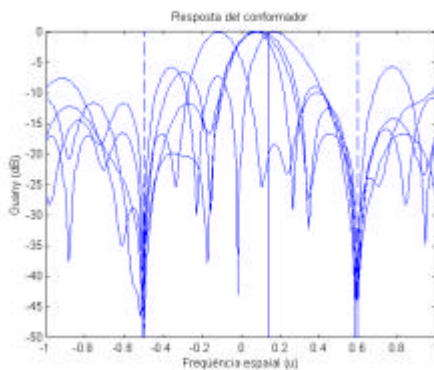
$$(\mathbf{x} \mathbf{x}^H + I \mathbf{I}) \mathbf{w} = \mathbf{x} s^*$$

$$\mathbf{w} = (\mathbf{x} \mathbf{x}^H + I \mathbf{I})^{-1} \mathbf{x} s^*$$

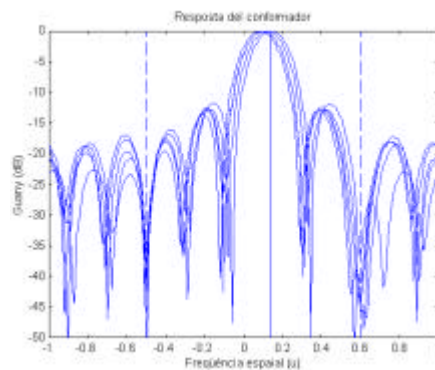


9

Ejemplo de conformador



Sin diagonal loading



Con diagonal loading (10 dB)



10

·Cuando hay incertidumbre en el DOA

·Array calibrado

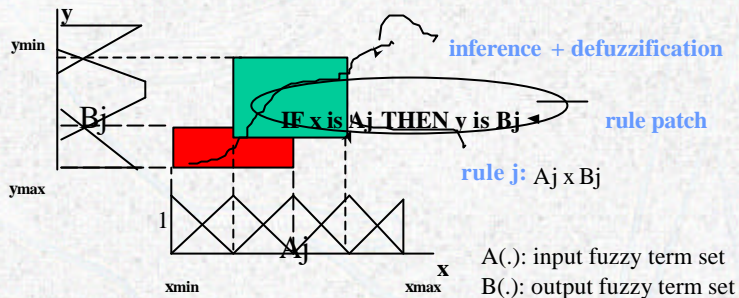
·Se propone modelarla empleando un sistema fuzzy $\hat{D} = w_F(q)$



·Los sistemas fuzzy pueden emplearse como aproximadores de funciones

$$\hat{s}(k) = \mathbf{w}_F^H \mathbf{x}(k) = f_F(\mathbf{x}(k)) = \sum_{i=1}^L c_i \Phi(\mathbf{x}(k))$$

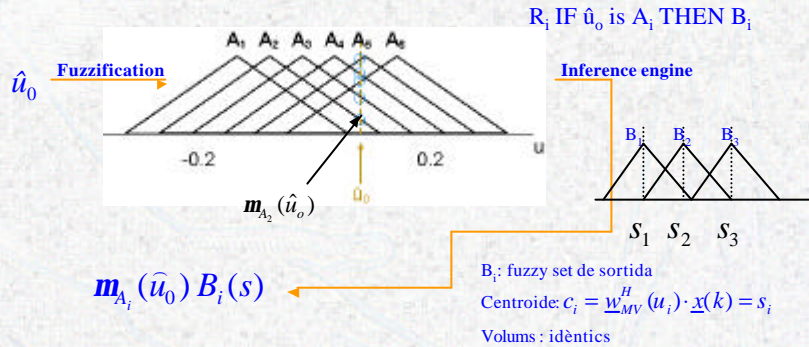
4 Etapas en el diseño



Conformador fuzzy

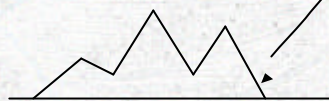
- Sistema fuzzy desarrollado**

$$[a(q_i)]_k = \exp(j2p \sin(q_i)k) = \exp(j2pk u_i)$$



Conformador fuzzy

Resultado final de la etapa de inferencia



$$B'(\hat{u}_0, s) = \sum_{i=1}^L m_{A_i}(\hat{u}_0) B_i(s)$$

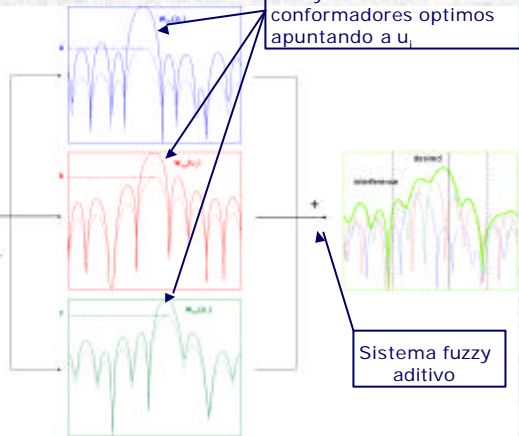
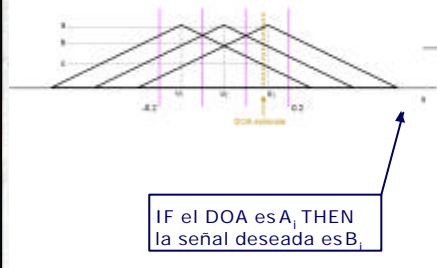
Defuzzification (extracción centro de masas)

$$\hat{s}(k) = \frac{\int I B'(\hat{u}_0, I) dI}{\int B'(\hat{u}_0, I) dI} = \frac{\sum_{i=1}^{L=6} m_{A_i}(\hat{u}_0) \underline{w}_{MV}^H(u_i)}{\underbrace{\sum_{i=1}^{L=6} m_{A_i}(\hat{u}_0)}_{\mathbf{W}_F^H}} \underline{x}(k) \Rightarrow \mathbf{W}_F = \sum_{i=1}^{L=6} \left(\frac{m_{A_i}(\hat{u}_0)}{\sum_{j=1}^{L=6} m_{A_j}(\hat{u}_0)} \right) \underline{w}_{MV}^H(u_i)$$



Diseño del conformador

- L fuzzy sets triangulares
- Fuzzification Singleton

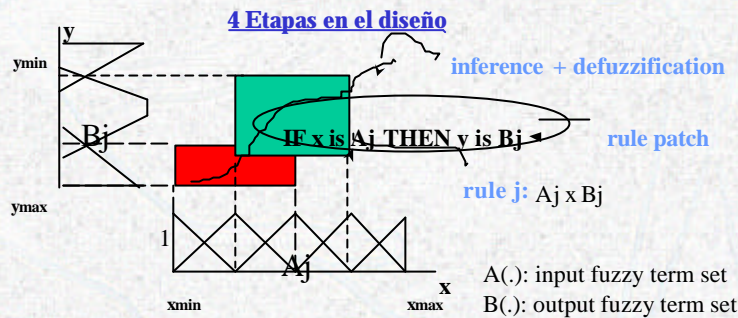


$$\mathbf{w}_F = \sum_{i=1}^L v_i \mathbf{w}_{opt}(u_i) = \sum_{i=1}^L \frac{\mathbf{m}_{A_i}(\hat{u}_d)}{\sum_{j=1}^L \mathbf{m}_{A_j}(\hat{u}_d)} \mathbf{w}_{opt}(u_i)$$



Estimador de señal deseada

$$\hat{s}(k) = \frac{\sum_{i=1}^{L=6} \mathbf{m}_{A_i}(\hat{u}_0) \mathbf{w}_{MV}^H(u_i)}{\sum_{i=1}^{L=6} \mathbf{m}_{A_i}(\hat{u}_0)} \mathbf{x}(k) \quad \hat{s}(k) = \mathbf{w}_F^H \mathbf{x}(k) = f_F(\mathbf{x}(k)) = \sum_{i=1}^L c_i \Phi(\mathbf{x}(k))$$



A(.) : input fuzzy term set
B(.) : output fuzzy term set



Relación con el conformador bayesiano

- **Conformador de media condicionada o bayesiano**

$$\hat{s}(k) = \sum_{i=1}^L p(u_i / \underline{X}) \underline{w}_{MS}^H(u_i) \underline{x}(k) = \sum_{i=1}^L p(u_i / \underline{X}) E\{s_0(k) / \underline{X}, u_i\} = E\{E\{s_0(k) / \underline{X}, u\}\} = E\{s_0(k) / \underline{X}\}$$

➤ **Diversas posibilidades para estimar la contribución de cada intervalo en la solución final:**

✓ **Paramétrica: (conformador bayesiano)**

$$\hat{p}(u_i / \underline{X}) = cp(u_i) \exp\left\{K \mathbf{g}^H(\underline{a}^H(u_i) \hat{\mathbf{R}}^{-1} \underline{a}(u_i))^{-1}\right\}$$

✓ **Problemas:**

- ✓ Suposición de no interferentes dentro del margen del prior.
- ✓ Suposición fuentes i ruido gaussianos.

✓ **No-paramétrica: (conformador fuzzy)**

$$p(u_i / \hat{u}_0(\underline{X})) = \frac{m_{A_i}(\hat{u}_0)}{\sum_{j=1}^{L=6} m_{A_j}(\hat{u}_0)}$$

✓ **Problemas:**

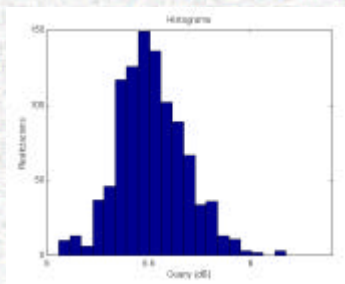
- ✓ Parte de una estimación de DOA de Capon.



17

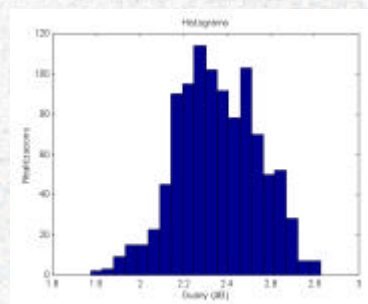
Simulaciones

- **Ruido no gaussiano. SIR = 0 (margen prior)**



Fuzzy uniforme

Bayes uniforme

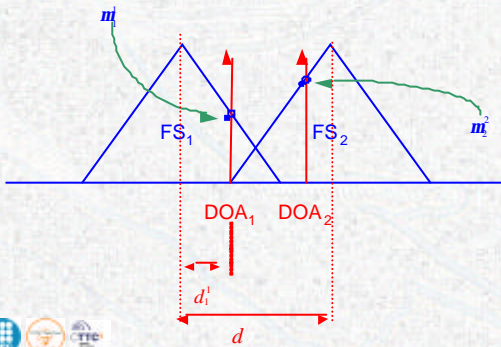


18

Ajuste de parámetros

- **Objetivo:** hallar los conjuntos fuzzy óptimos para diversos escenarios
- Por sencillez \Rightarrow conjuntos fuzzy triangulares equiespaciados en el margen de incertidumbre del DOA
- Parámetro a diseñar: anchura de los conjuntos fuzzy: "amp"

$$\mathbf{w}_F = \sum_{i=1}^L \frac{\mathbf{m}_{A_i}(\hat{u}_d)}{\sum_{j=1}^L \mathbf{m}_{A_j}(\hat{u}_d)} \quad \mathbf{w}_{opt}(u_i) = \sum_{i=1}^L v_i \mathbf{w}_{opt}(u_i)$$



$$\mathbf{m}_i^k = 1 - m \cdot d_i^k$$

$$m = \frac{1}{amp \cdot d}$$

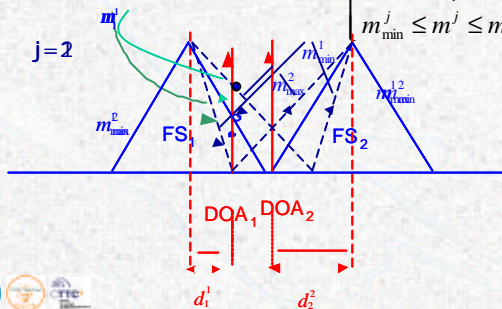


Ajuste de parámetros

$$MSE = E \left\{ |s(k) - \hat{s}_F(k)|^2 \right\} \cong \sum_{k=1}^N MSE(\mathbf{u}, \hat{u}_d^k) p(\hat{u}_d^k)$$

$$\min_{\{\mathbf{u}^k, c^k\}_m} MSE_{av} = \sum_k MSE(\mathbf{u}, \hat{u}_d^k) p(\hat{u}_d^k)$$

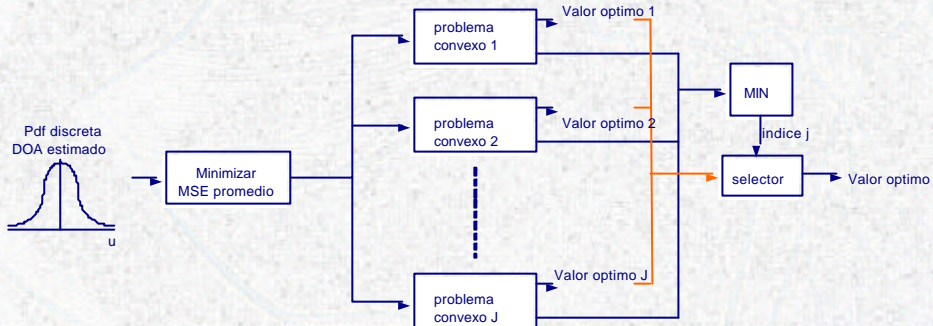
$$\text{s.t.} \begin{cases} \mathbf{m}_i^k - 1 + m^j d_i^k = 0 \\ \frac{1}{c^k} - \sum_i \mathbf{m}_i^k = 0 \\ 0 \leq \mathbf{m}_i^k \leq 1 \\ m_{\min}^j \leq m^j \leq m_{\max}^j \end{cases} \quad k, i \in S^j \quad j = 1..NL$$



Ajuste de parámetros

$$MSE = E \left\{ \left[s(k) - \hat{s}_F(k) \right]^2 \right\}$$

- Indice de prestaciones: error cuadrático medio



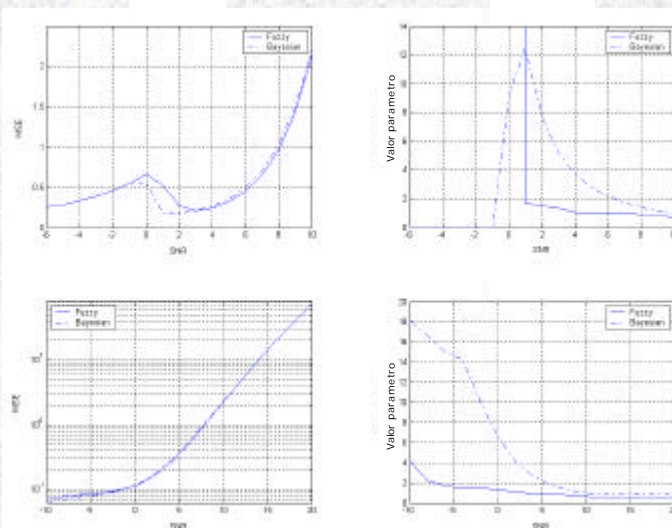
- Los problemas convexos son lineales en "m" en la zona correspondiente

Entrenar para varios escenarios



Ajuste de parámetros

N=30 snapshots
Q=10, L=6



$u_d = 0.14$, $u_{int} = \{-0.5, 0.6, -0.07\}$,
INR = {20, 20, 0} dB

$u_d = 0.14$, $u_{int} = \{-0.5, 0.6\}$, INR = {20, 20} dB

Bayesiano: $\hat{s}(k) = E\{s(k)/\mathbf{X}\} = \sum_{i=1}^I p(u_i/\mathbf{X}) E\{s(k)/\mathbf{X}, u_i\} = \sum_{i=1}^I p(u_i/\mathbf{X}) \mathbf{w}_{opt}^H(u_i) \mathbf{x} = \mathbf{w}_{cm}^H \mathbf{x}$



Ajuste de parámetros

- A partir de las gráficas se puede obtener un diseño para el caso de $L=6$

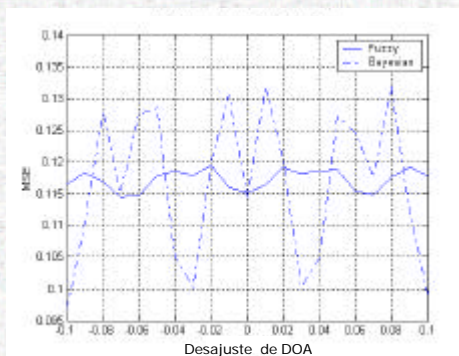
SNR	In-prior SIR	Width
≥ 0 dB	≥ 1 dB	1
$0 \geq \text{dB SNR} \geq -10$ dB	≥ 1 dB	3
whole range	< 1 dB	High



23

Resultados

- Robustez del DOA



$u_d=0$, SNR = 0dB,
 $u_{in}=\{-0.5, 0.6\}$,
 INR = {20, 20} dB

Solución optimizada para
 DOA = 0



24

Resultados

- Prestaciones**

$$G = \frac{SNIR_{\text{Bayes}}}{SNIR_{\text{Capon}}} = \frac{|\mathbf{w}^H \mathbf{a}_d|^2}{\mathbf{w}^H \mathbf{R}_n \mathbf{w}} \quad \mathbf{R}_n = \frac{1}{s_n^2 + \sum_{i=1}^L s_i^2} \mathbf{R}_n$$

- DOA en $[-0.2, 0.2]$
- 30 snapshots

- Comparación con**

- Conformador Bayesiano

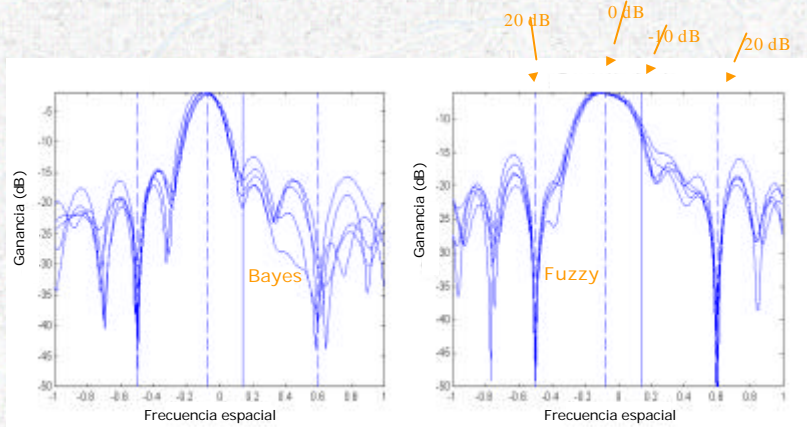
Se modela paraméricamente

$$\hat{s}(k) = E\{\hat{s}(k) / \mathbf{X}\} = \sum_{i=1}^L p(u_i / \mathbf{X}) E\{\hat{s}(k) / \mathbf{X}, u_i\} = \sum_{i=1}^L p(u_i / \mathbf{X}) \mathbf{w}_{opt}^H(u_i) \mathbf{x} = \mathbf{w}_{cm}^H \mathbf{x}$$

- Conformador de mínima varianza



Escenarios de baja SNR:



Ganancias: Fuzzy: 16.5 dB

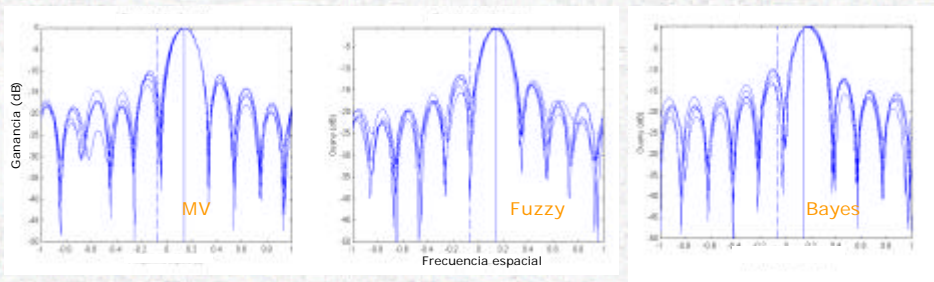
Bayes: 8 dB

Capon: 2 dB



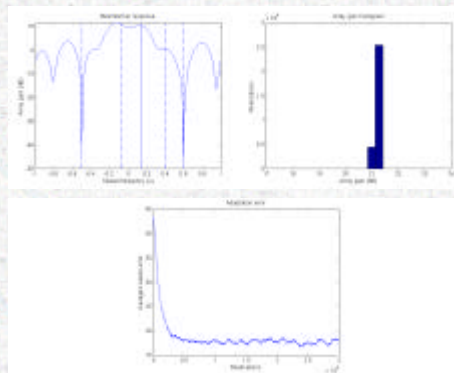
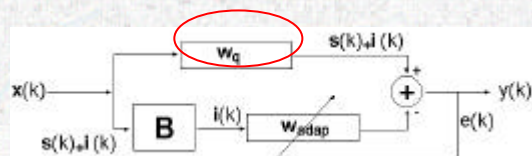
Escenarios de alta SNR:

- Ancho de fuzzy sets amp = 1.
- Incremento del número de fuzzy sets de $L = 6$ a $L = 12$.
- "Diagonal loading" adecuado (20 dB).



27

Con una estructura GSLC:



28

